

# 불연속 변단면을 갖는 원호 곡선부재의 자유진동

오상진\* · 진태기\*\* · 최규문\*\*\* · 이종국\*\*\*\*

## Free Vibrations of Stepped Circular Arcs

Sang Jin Oh, Tae Ki Jin, Kou Moon Choi, and Jong Kook Lee

### ABSTRACT

The differential equations governing in-plane free vibrations of stepped circular arcs, including the effects of axial deformation, rotatory inertia and shear deformation, are derived and solved numerically to obtain frequencies and mode shapes. Numerical results are calculated for the clamped-clamped symmetric and unsymmetric circular arcs with thickness varying in a discontinuous fashion. The lowest four natural frequencies and mode shapes are presented over a range of non-dimensional system parameters: the subtended angle, the slenderness ratio, the section ratio and the ratio of discontinuous section.

### 1. 서론

곡선부재는 구조적, 기능적 이유로 각종 구조공학 관련분야에서 단위구조로 이용되고 있어 곡선부재의 동적거동에 관한 폭넓은 연구가 이루어져 왔다.<sup>(1-7)</sup> 문헌 [1-3]에서는 여러 가지 선형을 갖는 등단면 곡선부재, 문헌 [4, 5]에서는 단면이 연속적으로 변화하는 곡선부재에 대한 연구가 이루어졌다.

실제 구조물에서 곡선부재를 다른 부재에 연결하거나 부재축상 일부분을 보강하는 경우에는 불연속적으로 단면이 변화하며, 문헌 [6, 7]에서는 불연속 변단면을 갖는 곡선부재의 진동특성에 관한 연구가 수행되었다. 그러나 곡선부재의 실제 거동특성을 정확하게 표현할 수 있는 해석모형(축변형, 회전관성 및 전단변형의 영향을 고려한 모형)을 채택한 연구결과는 부족한 실정이다.

이에 본 연구에서는 축변형, 회전관성 및 전단변형의 영향을 고려하여 불연속 변화단면을 갖는 원호 곡선부재의 고유진동수 및 진동형을 산출함으로써 대상 구조의 자유진동 특성을 분석하고자 한다.

### 2. 지배방정식

Fig. 1은 불연속 변화단면을 갖는 원호형 곡선부재를 나타낸 것이다. 이 그림에서  $a$ 와  $\alpha$ 는 각각 원호의 반경 및 중심각이며,  $\phi$ 는 부재축상 임의점의 위치를 나타내는 각도이다. 그리고  $d_1$ ,  $A_1$ 과  $I_1$ 은 각각  $\phi=0$ 에서  $\phi=\alpha_1$  및  $\phi=\alpha_1+\alpha_2$ 에서  $\phi=\alpha$  구간에서의 단면높이, 단면적 및 단면2차모멘트이며,  $d_2$ ,  $A_2$ 와  $I_2$ 는  $\phi=\alpha_1$ 에서  $\phi=\alpha_1+\alpha_2$  구간에서의 단면높이, 단면적 및 단면2차모멘트를 나타내고 있다. 한편  $w$ ,  $v$  및  $\psi$ 는 각각 진동시 부재축상 임의점에서의 곡물중심방향 변위, 접선방향 변위 및 순수휨에 의한 단면회전각을 나타낸다.

곡선부재가 면내에서 진동하면 진동변위  $w$ ,  $v$  및  $\psi$ 에 의해 부재단면에는 축방향력  $N$ , 전단력  $Q$  및 휨모멘트  $M$ 의 합응력이 발생하게 된다. 또한 질량

\* 정희원, 담양대학 토목과

\*\* (주) 제일건설

\*\*\* 백두 Plant

\*\*\*\* COMES기술단

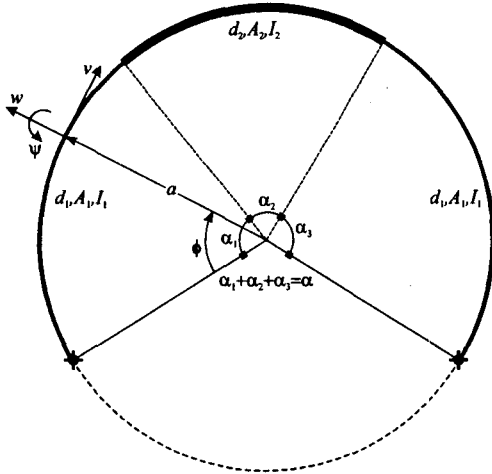


Fig. 1 Circular arc considered in the present study.

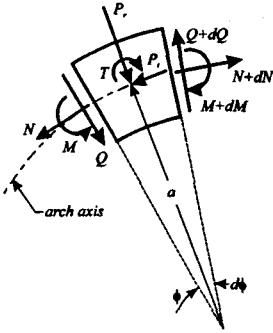


Fig. 2 Loads on an arc element.

을 가지고 있는 부재가 진동함으로서 부재미소요소에  
는 곡률중심방향 관성력  $P_r$ , 접선방향 관성력  $P_t$   
및 회전관성 우력  $T$ 가 발생하게 된다. Fig. 2는 부  
재미소요소에 발생하는 이들 합용력과 관성력을 나타  
낸 것으로 이 힘들의 동적 평형방정식을 세우면 식  
(1)~(3)과 같다.

$$N' + Q - aP_t = 0 \quad (1)$$

$$Q' - N - aP_r = 0 \quad (2)$$

$$a^{-1}M' - Q + T = 0 \quad (3)$$

위의 식에서  $(\cdot) = d/d\phi$ 이다.

부재단면에 발생하는 휨모멘트 및 축방향력을 변위  
향으로 표현하면 다음 식과 같다.<sup>(8)</sup>

$$M = -EIa^{-1}\phi' = -EI_1Ha^{-1}\phi' \quad (4)$$

$$N = EAa^{-1}(v' + w) + EIa^{-2}\phi' \\ = EA_1Fa^{-1}(v' + w) + EI_1Ha^{-2}\phi' \quad (5)$$

위의 식에서  $E$ 는 부재재료의 탄성계수이다.

전단변형을 고려하는 경우 전단력은 다음 식과 같  
이 표현된다.

$$Q = kAG\beta = kAGa^{-1}(w' - v - a\phi) \\ = kA_1FGa^{-1}(w' - v - a\phi) \quad (6)$$

위의 식에서  $k$ 는 단면형상에 따른 상수,  $G$ 는 부재  
재료의 전단탄성계수,  $\beta$ 는 전단변형률이다. 식(4)~  
(6)에서  $F$ 와  $H$ 는 부재단면의 변화를 정의해 주는  
 $\phi$ 에 관한 함수로서 각각 부재축상 임의점과 부재단  
부에서의 단면적 및 단면2차모멘트비를 나타낸다.

$$F = A/A_1, H = I/I_1 \quad (7,8)$$

부재가 조화진동을 한다고 가정하면 부재 미소요소  
에 발생하는 단위길이당 관성력 및 회전관성우력은  
식(9)~(11)과 같이 나타낼 수 있다.

$$P_r = -\gamma A\omega^2 w = -\gamma A_1 F\omega^2 w \quad (9)$$

$$P_t = -\gamma A\omega^2 v = -\gamma A_1 F\omega^2 v \quad (10)$$

$$T = -\gamma I\omega^2 \phi = -\gamma I_1 H\omega^2 \phi \quad (11)$$

위의 식에서  $\gamma$ 는 부재재료의 밀도,  $\omega$ 는 고유각진동  
수(rad/s)이다.

지배방정식을 무차원 형태로 나타내기 위하여 다음  
의 무차원 변수들을 사용한다.

$$\delta = w/a, \lambda = v/a \quad (12,13)$$

$$s = a/\sqrt{I_1/A_1}, \mu = kG/E, n = d_2/d_1 \quad (14-16)$$

$$C_i = \omega_i a^2 \sqrt{\gamma A_1 / (EI_1)} \quad (17)$$

위의 식에서  $s$ 는 세장비(slenderness ratio),  $\mu$ 는 전  
단계수(shear parameter),  $n$ 은 단면비(section ratio),  
 $C_i$ 는 무차원 고유진동수(frequency parameter), 첨자  
 $i$ 는 모드번호이다.

식(2)에 식(5), (6), (9), 식(1)에 식(5), (6), (10), 식  
(3)에 식(4), (6), (11)을 대입하고, 무차원 변수들을  
이용하여 정리하면 다음 식을 얻을 수 있다.

$$\delta'' = \mu^{-1}(1 - s^{-2}C_i^2)\delta + (1 + \mu^{-1})\lambda' \\ + (1 + \mu^{-1}s^{-2}F^{-1}H)\phi' \quad (18)$$

$$\lambda'' = (\mu - s^{-2}C_i^2)\lambda - (1 + \mu)\delta' \\ - s^{-2}F^{-1}H\phi'' + \mu\phi \quad (19)$$

$$\phi'' = (\mu s^2 FH^{-1} - s^{-2}C_i^2)\phi \\ - \mu s^2 FH^{-1}\delta' + \mu s^2 FH^{-1}\lambda \quad (20)$$

Table 1 Comparison of results between this study and other methods ( $\mu=0.327$ )

| Geometry                                 | Reference  | Frequency parameter, $C_i$ |        |        |        |
|--|------------|----------------------------|--------|--------|--------|
|  |            | $i=1$                      | $i=2$  | $i=3$  | $i=4$  |
| $\alpha=90^\circ, s=50$<br>$n=1$         | This study | 21.891                     | 34.959 | 53.826 | 71.375 |
|  | Ref. [1]   | 21.872                     | 34.932 | 53.792 | 71.265 |
| $\alpha=150^\circ, s=100$<br>$n=1$       | This study | 6.9360                     | 14.428 | 26.445 | 39.629 |
|  | Ref. [1]   | 6.9351                     | 14.425 | 26.439 | 39.618 |
| $\alpha=180^\circ, s=75$<br>$n=1$        | This study | 4.3669                     | 9.5638 | 17.718 | 26.960 |
|  | Ref. [1]   | 4.3662                     | 9.5612 | 17.712 | 26.949 |
| $\alpha=360^\circ, s=20$<br>$n=1.2(A)^*$ | This study | 0.61093                    | 1.7046 | 3.5194 | 5.9170 |
|  | SAP2000    | 0.61889                    | 1.6938 | 3.5580 | 5.8768 |
| $\alpha=270^\circ, s=100$<br>$n=1.4(B)$  | This study | 1.5942                     | 3.8592 | 7.4909 | 12.178 |
|  | SAP2000    | 1.6451                     | 4.0050 | 7.8022 | 12.398 |
| $\alpha=120^\circ, s=20$<br>$n=0.8(C)$   | This study | 9.9095                     | 14.293 | 23.262 | 28.800 |
|  | SAP2000    | 9.9720                     | 15.517 | 23.263 | 30.462 |
| $\alpha=90^\circ, s=100$<br>$n=1.2(D)$   | This study | 23.730                     | 42.167 | 79.754 | 89.637 |
|  | SAP2000    | 22.456                     | 42.505 | 78.424 | 91.369 |

\* A:  $a_1/a = a_2/a = 0.5$ , B:  $a_1/a = 0.75, a_2/a = 0.25$   
 C:  $a_1/a = 0.25, a_2/a = 0.50, a_3/a = 0.25$   
 D:  $a_1/a = 0.40, a_2/a = 0.20, a_3/a = 0.40$

이상에서 식(18)~(20)은 축변형, 회전관성 및 전단 변형의 영향을 고려한 불연속 변화단면을 갖는 원호형 곡선부재의 자유진동을 지배하는 미분방정식이다.

식(18)~(20)에서 부재단면의 변화를 나타내는  $F$ 와  $H$ 를 단면제원에 관한 항으로 표현하면 다음과 같다. 먼저  $\phi=0$ 에서  $\phi=\alpha_1$  및  $\phi=\alpha_1+\alpha_2$ 에서  $\phi=\alpha$  구간에서  $F$ 와  $H$ 는 각각 다음과 같다.

$$F=1, \phi=0\sim\alpha_1 \text{ 및 } \phi=(\alpha_1+\alpha_2)\sim\alpha \text{에서} \quad (21)$$

$$H=1, \phi=0\sim\alpha_1 \text{ 및 } \phi=(\alpha_1+\alpha_2)\sim\alpha \text{에서} \quad (22)$$

폭이  $b$ 로 일정하고, 단면높이가 불연속적으로 변하는 직사각형 단면인 경우  $A_1=bd_1, A_2=bd_2, I_1=bd_1^3/12, I_2=bd_2^3/12$ 이므로  $\phi=\alpha_1$ 에서  $\phi=\alpha_1+\alpha_2$  구간에서  $F$ 와  $H$ 는 각각 다음과 같이 표현할 수 있다.

$$F=A_2/A_1=d_2/d_1=n, \quad \phi=\alpha_1\sim(\alpha_1+\alpha_2) \text{에서} \quad (23)$$

$$H=I_2/I_1=d_2^3/d_1^3=n^3, \quad \phi=\alpha_1\sim(\alpha_1+\alpha_2) \text{에서} \quad (24)$$

이 논문에서는 곡선부재의 양단이 고정인 경우만을 고려하였다. 고정단인 경우 진동변위  $w, v$  및  $\phi$ 가 발생하지 않으므로 무차원 변수들을 이용하면 다음과

같이 경계조건식을 나타낼 수 있다.

$$\delta=0, \lambda=0, \phi=0 \quad (25-27)$$

### 3. 해석방법 및 결과

식(18)~(20)의 지배미분방정식으로부터 해석대상구조의 고유진동수를 산출하기 위하여 사용한 수치해석 방법의 개략적인 내용은 다음과 같다. 식(18)~(20)의 미분방정식에는 불확정량인 고유치  $C_i$ 항이 포함되어 있으므로 먼저 이 값을 가정하여 미분방정식에 대입한 후에 좌단의 경계조건을 이용하여 수치적분을 시행한다. 가정한  $C_i$ 값이 대상구조에 대한 고유치인지는 수치적분결과 얻어진 우단에서의 결과들이 경계조건을 만족하는지 여부로서 판단하며, 이 과정에서 행렬값 탐사법을 이용하였다. 본 연구에서 미분방정식의 수치적분은 정도가 높아 공학관련문제에서 많이 이용되고 있는 Runge-Kutta method를 이용하였으며, 행렬값 탐사법을 적용하는 과정에서 고유치  $C_i$ 를 찾기 위해서는 Regula-Falsi method를 이용하였다. 이상의 수치해석 과정을 컴퓨터 프로그램화하였으며, 본 논문에서는 최저차 4개의 무차원 고유진동수 및 진동형을 산출하였다.

Table 1은 강재의 직사각형 단면( $\mu=0.327$ )을 갖는 양단고정 곡선부재의 무차원 고유진동수를 비교한 것이다. 문헌 [1]의 결과는 본 연구에서와 같이 축변형, 회전관성 및 전단변형의 영향을 고려하여 산출한 등 단면 원호 곡선부재에 대한 엄밀해이며, SAP2000의 결과는 전단면적(shear area)을 고려하고 곡선부재축을 직선보 요소로 모형화하여 얻은 충분히 수렴된 결과이다. 이 표에서 본 연구결과와 문헌들의 결과는 매우 우수하게 근접함을 알 수 있어 본 연구결과와의 타당성을 검증할 수 있다.

Table 2와 3은 2개의 불연속구간을 가지며 곡선부재의 정점을 기준으로 비대칭구조인 양단고정 원호형 곡선부재의 최저차 4개의 무차원 고유진동수를 나타낸 것으로 Table 2는  $a_1/a = a_2/a = 0.5$ , Table 3은  $a_1/a = 0.75, a_2/a = 0.25$ 에 대한 결과이다.

Table 4와 5는 3개의 불연속구간을 가지며 곡선부재의 정점을 기준으로 대칭구조인 양단고정 원호형 곡선부재의 최저차 4개의 무차원 고유진동수를 나타낸 것으로 Table 4는  $a_1/a = 0.25, a_2/a = 0.50, a_3/a = 0.25$ , Table 5는  $a_1/a = 0.40, a_2/a = 0.20, a_3/a = 0.40$ 에 대한 결과이다.

Table 2 Frequency parameter  $C_i$  for clamped-clamped arc with  $\alpha_1/\alpha = \alpha_2/\alpha = 0.5$

| $\alpha$ | $s$ | $n$ | Frequency parameter, $C_i$ |        |        |        |
|----------|-----|-----|----------------------------|--------|--------|--------|
|          |     |     | $i=1$                      | $i=2$  | $i=3$  | $i=4$  |
| 60°      | 20  | 0.8 | 22.787                     | 36.220 | 62.456 | 66.629 |
|          |     | 1.0 | 23.732                     | 38.713 | 62.803 | 69.975 |
|          |     | 1.2 | 24.631                     | 40.290 | 63.032 | 72.606 |
|          |     | 1.4 | 25.466                     | 41.323 | 63.183 | 74.705 |
|          | 100 | 0.8 | 46.968                     | 72.608 | 110.52 | 152.95 |
|          |     | 1.0 | 52.784                     | 75.977 | 117.81 | 170.81 |
|          |     | 1.2 | 57.236                     | 78.354 | 125.49 | 184.15 |
|          |     | 1.4 | 60.778                     | 80.061 | 133.06 | 194.71 |
| 90°      | 20  | 0.8 | 17.309                     | 17.481 | 35.514 | 41.713 |
|          |     | 1.0 | 17.823                     | 18.908 | 37.881 | 42.266 |
|          |     | 1.2 | 18.213                     | 19.990 | 39.880 | 42.545 |
|          |     | 1.4 | 18.610                     | 20.730 | 41.588 | 42.673 |
|          | 100 | 0.8 | 19.892                     | 37.583 | 68.014 | 85.909 |
|          |     | 1.0 | 22.435                     | 41.509 | 76.430 | 88.831 |
|          |     | 1.2 | 24.390                     | 45.149 | 82.896 | 90.741 |
|          |     | 1.4 | 25.934                     | 48.465 | 88.239 | 92.046 |
| 120°     | 20  | 0.8 | 9.5969                     | 14.676 | 23.321 | 29.047 |
|          |     | 1.0 | 10.591                     | 15.171 | 24.659 | 30.459 |
|          |     | 1.2 | 11.310                     | 15.538 | 25.917 | 31.154 |
|          |     | 1.4 | 11.847                     | 15.824 | 27.058 | 31.515 |
|          | 100 | 0.8 | 10.459                     | 20.935 | 37.647 | 55.641 |
|          |     | 1.0 | 11.789                     | 23.244 | 42.353 | 61.395 |
|          |     | 1.2 | 12.809                     | 25.445 | 45.942 | 66.516 |
|          |     | 1.4 | 13.615                     | 27.505 | 48.841 | 70.816 |
| 180°     | 20  | 0.8 | 3.7168                     | 7.8356 | 14.064 | 17.427 |
|          |     | 1.0 | 4.1551                     | 8.5272 | 15.423 | 17.908 |
|          |     | 1.2 | 4.4802                     | 9.1411 | 16.358 | 18.267 |
|          |     | 1.4 | 4.7269                     | 9.6789 | 17.032 | 18.553 |
|          | 100 | 0.8 | 3.8719                     | 8.6337 | 15.774 | 24.450 |
|          |     | 1.0 | 4.3746                     | 9.6022 | 17.806 | 27.210 |
|          |     | 1.2 | 4.7599                     | 10.538 | 19.357 | 29.794 |
|          |     | 1.4 | 5.0620                     | 11.432 | 20.593 | 32.145 |
| 270°     | 20  | 0.8 | 1.2136                     | 3.1019 | 5.9026 | 9.3420 |
|          |     | 1.0 | 1.3647                     | 3.4218 | 6.5757 | 10.215 |
|          |     | 1.2 | 1.4770                     | 3.7265 | 7.0595 | 10.979 |
|          |     | 1.4 | 1.5623                     | 4.0121 | 7.4218 | 11.625 |
|          | 100 | 0.8 | 1.2339                     | 3.2175 | 6.2198 | 10.135 |
|          |     | 1.0 | 1.3937                     | 3.5783 | 7.0212 | 11.290 |
|          |     | 1.2 | 1.5141                     | 3.9324 | 7.6248 | 12.380 |
|          |     | 1.4 | 1.6066                     | 4.2747 | 8.1016 | 13.374 |
| 360°     | 20  | 0.8 | 0.49837                    | 1.4083 | 2.9007 | 4.9374 |
|          |     | 1.0 | 0.56166                    | 1.5579 | 3.2585 | 5.4487 |
|          |     | 1.2 | 0.61093                    | 1.7046 | 3.5194 | 5.9170 |
|          |     | 1.4 | 0.65025                    | 1.8468 | 3.7149 | 6.3374 |
|          | 100 | 0.8 | 0.50150                    | 1.4347 | 2.9858 | 5.1532 |
|          |     | 1.0 | 0.56623                    | 1.5937 | 3.3793 | 5.7419 |
|          |     | 1.2 | 0.61675                    | 1.7521 | 3.6741 | 6.3009 |
|          |     | 1.4 | 0.65707                    | 1.9083 | 3.9017 | 6.8200 |

Table 3 Frequency parameter  $C_i$  for clamped-clamped arc with  $\alpha_1/\alpha = 0.75$  and  $\alpha_2/\alpha = 0.25$

| $\alpha$ | $s$ | $n$ | Frequency parameter, $C_i$ |        |        |        |
|----------|-----|-----|----------------------------|--------|--------|--------|
|          |     |     | $i=1$                      | $i=2$  | $i=3$  | $i=4$  |
| 60°      | 20  | 0.8 | 23.046                     | 37.570 | 62.665 | 68.866 |
|          |     | 1.0 | 23.732                     | 38.713 | 62.803 | 69.975 |
|          |     | 1.2 | 24.206                     | 39.637 | 62.928 | 70.709 |
|          |     | 1.4 | 24.538                     | 40.369 | 63.031 | 71.243 |
|          | 100 | 0.8 | 49.624                     | 75.068 | 114.13 | 162.24 |
|          |     | 1.0 | 52.784                     | 75.977 | 117.81 | 170.81 |
|          |     | 1.2 | 55.692                     | 76.384 | 121.37 | 176.52 |
|          |     | 1.4 | 58.266                     | 76.561 | 124.85 | 180.94 |
| 90°      | 20  | 0.8 | 17.585                     | 18.151 | 36.907 | 42.085 |
|          |     | 1.0 | 17.823                     | 18.908 | 37.881 | 42.266 |
|          |     | 1.2 | 17.914                     | 19.623 | 38.650 | 42.373 |
|          |     | 1.4 | 17.961                     | 20.218 | 39.291 | 42.448 |
|          | 100 | 0.8 | 21.039                     | 39.906 | 72.420 | 87.471 |
|          |     | 1.0 | 22.435                     | 41.509 | 76.430 | 88.831 |
|          |     | 1.2 | 23.729                     | 42.796 | 79.186 | 89.717 |
|          |     | 1.4 | 24.875                     | 43.960 | 81.385 | 90.315 |
| 120°     | 20  | 0.8 | 10.040                     | 15.058 | 24.019 | 29.917 |
|          |     | 1.0 | 10.591                     | 15.171 | 24.659 | 30.459 |
|          |     | 1.2 | 11.077                     | 15.210 | 25.230 | 30.730 |
|          |     | 1.4 | 11.491                     | 15.215 | 25.750 | 30.874 |
|          | 100 | 0.8 | 11.031                     | 22.263 | 40.075 | 58.034 |
|          |     | 1.0 | 11.789                     | 23.244 | 42.353 | 61.395 |
|          |     | 1.2 | 12.495                     | 24.065 | 43.905 | 63.797 |
|          |     | 1.4 | 13.124                     | 24.832 | 45.128 | 65.424 |
| 180°     | 20  | 0.8 | 3.8939                     | 8.2561 | 14.809 | 17.691 |
|          |     | 1.0 | 4.1551                     | 8.5272 | 15.423 | 17.908 |
|          |     | 1.2 | 4.3940                     | 8.7288 | 15.805 | 18.076 |
|          |     | 1.4 | 4.6046                     | 8.8972 | 16.066 | 18.214 |
|          | 100 | 0.8 | 4.0720                     | 9.1776 | 16.827 | 25.566 |
|          |     | 1.0 | 4.3746                     | 9.6022 | 17.806 | 27.210 |
|          |     | 1.2 | 4.6586                     | 9.9641 | 18.470 | 28.419 |
|          |     | 1.4 | 4.9140                     | 10.307 | 18.987 | 29.267 |
| 270°     | 20  | 0.8 | 1.2591                     | 3.2808 | 6.2494 | 9.7050 |
|          |     | 1.0 | 1.3647                     | 3.4218 | 6.5757 | 10.215 |
|          |     | 1.2 | 1.4634                     | 3.5395 | 6.7856 | 10.582 |
|          |     | 1.4 | 1.5519                     | 3.6484 | 6.9358 | 10.833 |
|          | 100 | 0.8 | 1.2821                     | 3.4137 | 6.6242 | 10.589 |
|          |     | 1.0 | 1.3937                     | 3.5783 | 7.0212 | 11.290 |
|          |     | 1.2 | 1.4990                     | 3.7214 | 7.2876 | 11.810 |
|          |     | 1.4 | 1.5942                     | 3.8592 | 7.4909 | 12.178 |
| 360°     | 20  | 0.8 | 0.50897                    | 1.4879 | 3.0805 | 5.1349 |
|          |     | 1.0 | 0.56166                    | 1.5579 | 3.2585 | 5.4487 |
|          |     | 1.2 | 0.61071                    | 1.6201 | 3.3738 | 5.6794 |
|          |     | 1.4 | 0.65450                    | 1.6805 | 3.4571 | 5.8407 |
|          | 100 | 0.8 | 0.51247                    | 1.5180 | 3.1816 | 5.3754 |
|          |     | 1.0 | 0.56623                    | 1.5937 | 3.3793 | 5.7419 |
|          |     | 1.2 | 0.61645                    | 1.6621 | 3.5106 | 6.0157 |
|          |     | 1.4 | 0.66135                    | 1.7299 | 3.6091 | 6.2100 |

Table 4 Frequency parameter  $C_i$  for clamped-clamped arc with  $\alpha_1/\alpha=0.25$ ,  $\alpha_2/\alpha=0.50$  and  $\alpha_3/\alpha=0.25$

| $\alpha$ | $s$ | $n$ | Frequency parameter, $C_i$ |        |        |        |
|----------|-----|-----|----------------------------|--------|--------|--------|
|          |     |     | $i=1$                      | $i=2$  | $i=3$  | $i=4$  |
| 60°      | 20  | 0.8 | 22.815                     | 36.705 | 62.468 | 65.391 |
|          |     | 1.0 | 23.732                     | 38.713 | 62.803 | 69.975 |
|          |     | 1.2 | 24.284                     | 40.512 | 63.091 | 73.677 |
|          |     | 1.4 | 24.618                     | 42.163 | 63.383 | 76.619 |
|          | 100 | 0.8 | 48.541                     | 70.568 | 110.41 | 151.46 |
|          |     | 1.0 | 52.784                     | 75.977 | 117.81 | 170.81 |
|          |     | 1.2 | 56.787                     | 79.521 | 125.97 | 185.91 |
|          |     | 1.4 | 60.741                     | 81.772 | 134.16 | 197.51 |
| 90°      | 20  | 0.8 | 17.200                     | 17.748 | 35.079 | 41.596 |
|          |     | 1.0 | 17.823                     | 18.908 | 37.881 | 42.266 |
|          |     | 1.2 | 18.204                     | 19.964 | 40.332 | 42.646 |
|          |     | 1.4 | 18.435                     | 20.962 | 42.402 | 42.927 |
|          | 100 | 0.8 | 20.658                     | 36.556 | 67.351 | 85.631 |
|          |     | 1.0 | 22.435                     | 41.509 | 76.430 | 88.831 |
|          |     | 1.2 | 24.110                     | 46.019 | 83.664 | 90.874 |
|          |     | 1.4 | 25.768                     | 49.964 | 89.309 | 92.556 |
| 120°     | 20  | 0.8 | 9.9095                     | 14.293 | 23.262 | 28.800 |
|          |     | 1.0 | 10.591                     | 15.171 | 24.659 | 30.459 |
|          |     | 1.2 | 11.221                     | 15.735 | 26.040 | 31.365 |
|          |     | 1.4 | 11.828                     | 16.089 | 27.313 | 31.925 |
|          | 100 | 0.8 | 10.895                     | 20.404 | 37.280 | 55.479 |
|          |     | 1.0 | 11.789                     | 23.244 | 42.353 | 61.395 |
|          |     | 1.2 | 12.636                     | 25.874 | 46.384 | 65.891 |
|          |     | 1.4 | 13.477                     | 28.227 | 49.530 | 69.691 |
| 180°     | 20  | 0.8 | 3.8988                     | 7.6225 | 13.921 | 17.383 |
|          |     | 1.0 | 4.1551                     | 8.5272 | 15.423 | 17.908 |
|          |     | 1.2 | 4.3925                     | 9.3122 | 16.511 | 18.298 |
|          |     | 1.4 | 4.6248                     | 9.9656 | 17.303 | 18.639 |
|          | 100 | 0.8 | 4.0806                     | 8.4321 | 15.633 | 24.373 |
|          |     | 1.0 | 4.3746                     | 9.6022 | 17.806 | 27.210 |
|          |     | 1.2 | 4.6500                     | 10.696 | 19.540 | 29.422 |
|          |     | 1.4 | 4.9235                     | 11.685 | 20.896 | 31.326 |
| 270°     | 20  | 0.8 | 1.3042                     | 3.0355 | 5.8538 | 9.3350 |
|          |     | 1.0 | 1.3647                     | 3.4218 | 6.5757 | 10.215 |
|          |     | 1.2 | 1.4183                     | 3.7744 | 7.1176 | 10.883 |
|          |     | 1.4 | 1.4703                     | 4.0844 | 7.5213 | 11.449 |
|          | 100 | 0.8 | 1.3289                     | 3.1536 | 6.1720 | 10.133 |
|          |     | 1.0 | 1.3937                     | 3.5783 | 7.0212 | 11.290 |
|          |     | 1.2 | 1.4514                     | 3.9755 | 7.6856 | 12.195 |
|          |     | 1.4 | 1.5078                     | 4.3340 | 8.1966 | 12.978 |
| 360°     | 20  | 0.8 | 0.55052                    | 1.3856 | 2.8857 | 4.9427 |
|          |     | 1.0 | 0.56166                    | 1.5579 | 3.2585 | 5.4487 |
|          |     | 1.2 | 0.56766                    | 1.7203 | 3.5390 | 5.8328 |
|          |     | 1.4 | 0.57107                    | 1.8678 | 3.7453 | 6.1559 |
|          | 100 | 0.8 | 0.55458                    | 1.4129 | 2.9716 | 5.1602 |
|          |     | 1.0 | 0.56623                    | 1.5937 | 3.3793 | 5.7419 |
|          |     | 1.2 | 0.57260                    | 1.7659 | 3.6940 | 6.1911 |
|          |     | 1.4 | 0.57631                    | 1.9242 | 3.9304 | 6.5739 |

Table 5 Frequency parameter  $C_i$  for clamped-clamped arc with  $\alpha_1/\alpha=0.40$ ,  $\alpha_2/\alpha=0.20$  and  $\alpha_3/\alpha=0.40$

| $\alpha$ | $s$ | $n$ | Frequency parameter, $C_i$ |        |        |        |
|----------|-----|-----|----------------------------|--------|--------|--------|
|          |     |     | $i=1$                      | $i=2$  | $i=3$  | $i=4$  |
| 60°      | 20  | 0.8 | 23.680                     | 36.947 | 62.501 | 68.886 |
|          |     | 1.0 | 23.732                     | 38.713 | 62.803 | 69.975 |
|          |     | 1.2 | 23.734                     | 40.056 | 63.059 | 70.572 |
|          |     | 1.4 | 23.707                     | 41.065 | 63.265 | 70.925 |
|          | 100 | 0.8 | 49.128                     | 75.020 | 115.15 | 163.56 |
|          |     | 1.0 | 52.784                     | 75.977 | 117.81 | 170.81 |
|          |     | 1.2 | 55.799                     | 76.451 | 119.37 | 177.79 |
|          |     | 1.4 | 58.211                     | 76.700 | 120.34 | 184.28 |
| 90°      | 20  | 0.8 | 17.780                     | 17.921 | 37.126 | 41.859 |
|          |     | 1.0 | 17.823                     | 18.908 | 37.881 | 42.266 |
|          |     | 1.2 | 17.832                     | 19.727 | 38.297 | 42.593 |
|          |     | 1.4 | 17.797                     | 20.358 | 38.540 | 42.844 |
|          | 100 | 0.8 | 20.866                     | 40.290 | 73.006 | 87.308 |
|          |     | 1.0 | 22.435                     | 41.509 | 76.430 | 88.831 |
|          |     | 1.2 | 23.730                     | 42.167 | 79.754 | 89.637 |
|          |     | 1.4 | 24.767                     | 42.535 | 82.861 | 90.112 |
| 120°     | 20  | 0.8 | 9.9509                     | 15.065 | 24.199 | 29.703 |
|          |     | 1.0 | 10.591                     | 15.171 | 24.659 | 30.459 |
|          |     | 1.2 | 11.102                     | 15.200 | 24.920 | 31.097 |
|          |     | 1.4 | 11.500                     | 15.189 | 25.077 | 31.607 |
|          | 100 | 0.8 | 10.962                     | 22.544 | 40.392 | 58.313 |
|          |     | 1.0 | 11.789                     | 23.244 | 42.353 | 61.395 |
|          |     | 1.2 | 12.471                     | 23.611 | 44.260 | 63.346 |
|          |     | 1.4 | 13.016                     | 23.803 | 46.047 | 64.608 |
| 180°     | 20  | 0.8 | 3.8812                     | 8.3548 | 14.788 | 17.633 |
|          |     | 1.0 | 4.1551                     | 8.5272 | 15.423 | 17.908 |
|          |     | 1.2 | 4.3765                     | 8.5933 | 16.023 | 18.062 |
|          |     | 1.4 | 4.5510                     | 8.6008 | 16.567 | 18.159 |
|          | 100 | 0.8 | 4.0653                     | 9.3372 | 16.944 | 25.723 |
|          |     | 1.0 | 4.3746                     | 9.6022 | 17.806 | 27.210 |
|          |     | 1.2 | 4.6286                     | 9.7230 | 18.647 | 28.167 |
|          |     | 1.4 | 4.8317                     | 9.7648 | 19.436 | 28.791 |
| 270°     | 20  | 0.8 | 1.2705                     | 3.3588 | 6.2669 | 9.7268 |
|          |     | 1.0 | 1.3647                     | 3.4218 | 6.5757 | 10.215 |
|          |     | 1.2 | 1.4414                     | 3.4320 | 6.8737 | 10.518 |
|          |     | 1.4 | 1.5022                     | 3.4103 | 7.1499 | 10.710 |
|          | 100 | 0.8 | 1.2945                     | 3.5028 | 6.6681 | 10.657 |
|          |     | 1.0 | 1.3937                     | 3.5783 | 7.0212 | 11.290 |
|          |     | 1.2 | 1.4750                     | 3.5950 | 7.3671 | 11.693 |
|          |     | 1.4 | 1.5399                     | 3.5766 | 7.6928 | 11.952 |
| 360°     | 20  | 0.8 | 0.52999                    | 1.5385 | 3.0992 | 5.1617 |
|          |     | 1.0 | 0.56166                    | 1.5579 | 3.2585 | 5.4487 |
|          |     | 1.2 | 0.58789                    | 1.5493 | 3.4144 | 5.6255 |
|          |     | 1.4 | 0.60900                    | 1.5221 | 3.5610 | 5.7343 |
|          | 100 | 0.8 | 0.53361                    | 1.5719 | 3.2077 | 5.4148 |
|          |     | 1.0 | 0.56623                    | 1.5937 | 3.3793 | 5.7419 |
|          |     | 1.2 | 0.59337                    | 1.5858 | 3.5488 | 5.9464 |
|          |     | 1.4 | 0.61531                    | 1.5584 | 3.7096 | 6.0736 |

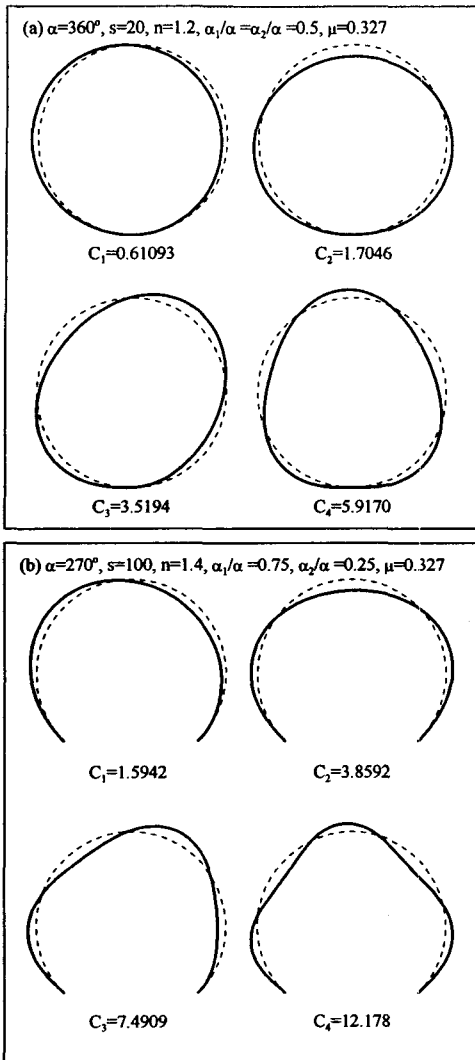


Fig. 3 Example of mode shapes.

이상의 해석 예에서 전단계수  $\mu$ 는 0.327, 부재 중심각  $\alpha$ 는  $60^\circ$ ,  $90^\circ$ ,  $120^\circ$ ,  $180^\circ$ ,  $270^\circ$  및  $360^\circ$ 를 고려하였으며, 세장비  $s$ 는 20과 100, 단면비  $n$ 은 0.8, 1.0, 1.2와 1.4를 고려하였다. Fig. 3은 본 연구에서 산출된 진동형의 예를 보인 것이다.

#### 4. 요약 및 결론

이 논문에서는 축변형, 회전관성 및 전단변형의 영향을 고려한 불연속 변단면을 갖는 원호 곡선부재의 자유진동을 지배하는 상미분방정식을 유도하고, 이를 수치해석하여 고유진동수 및 진동형을 산출하였다.

해석 예에서는 2개의 불연속구간을 갖는 비대칭 곡선부재 및 3개의 불연속구간을 갖는 대칭 곡선부재의 중심각, 세장비, 단면비 및 불연속구간비에 변화에 따른 고유진동수 및 진동형을 구하였으며, 타문헌의 결과와 비교하여 본 연구결과의 타당성을 검증하였다.

#### 감사의 글

본 연구는 한국과학재단의 목적기초연구(R05-2001-000-01369-0)지원으로 수행되었음.

#### 참고 문헌

- (1) Tüfekci, E. and Arpacı, A., 1998, "Exact Solution of In-Plane Vibrations of Circular Arches with account taken of Axial Extension, Transverse Shear and Rotatory Inertia Effects," *Journal of Sound and Vibration*, Vol. 209, pp.845-856.
- (2) Oh, S.J., Lee, B.K. and Lee, I.W., 1999, "Natural Frequencies of Non-Circular Arches with Rotatory Inertia and Shear Deformation," *Journal of Sound and Vibration*, Vol. 219, pp.23-33.
- (3) Rakowski, J. and Litewka, P., 2001, "Free Vibrations of Shear-Flexible and Compressible Arches by FEM," *International Journal for Numerical Methods in Engineering*, Vol. 52, pp.273-286.
- (4) Gutierrez, R.H. and Laura, P.A.A., 1995, "Vibrations of Non-Uniform Rings Studied by means of the Differential Quadrature Method," *Journal of Sound and Vibration*, Vol. 185, pp.507-513.
- (5) Oh, S.J., Lee, B.K. and Lee, I.W., 2000, "Free Vibrations of Non-Circular Arches with Non-Uniform Cross-Section," *International Journal of Solids and Structures*, Vol. 37, pp.4871-4891.
- (6) Auciello, N.M. and De Rosa, M.A., 1994, "Free Vibrations of Circular Arches: A Review," *Journal of Sound and Vibration*, Vol. 176, pp.433-458.
- (7) Tong, X., Mrad, N. and Tabarrok, B., 1998, "In-Plane Vibration of Circular Arches with Variable Cross-Sections," *Journal of Sound and Vibration*, Vol. 212, pp.121-140.
- (8) Borg, S.F. and Gennaro, J.J., 1959, *Advanced Structural Analysis*, Van Nostrand.